УДК 621.378.325 ФИЗИКА

В. Н. АЛЕКСЕЕВ, Ю. А. АНАНЬЕВ, Э. Ф. ДАУЭНГАУЭР

МОЩНЫЕ ТВЕРДОТЕЛЬНЫЕ ЛАЗЕРЫ С ТЕЛЕСКОПИЧЕСКИМ РЕЗОНАТОРОМ

(Представлено академиком А. М. Прохоровым 21 V 1973)

Телескопический резонатор (1,2) уже давно используется для уменьшения угловой расходимости излучения твердотельных лазеров (например, (3,4)), однако все опубликованные по этому поводу материалы пока относились только к генераторам со сравнительно невысокими энергетическими характеристиками. В настоящей работе объектом исследований служил лазер, обладающий уже достаточно большим удельным энергосъемом (свыше 4 дж/см³ в импульсе). Результаты этих исследований по существу подводят итоги цикла работ (3,5-8), направленных на усовершенствование твердотельных генераторов с традиционными активными элементами круглого сечения. Кроме того, обсуждаются перспективы дальнейшего улучшения характеристик твердотельных лазеров со свободной генерацией.

Активным элементом в наших экспериментах служил стержень диаметром 45 и длиной 620 мм из неодимового стекла с коэффициентом неактивного поглощения на рабочей длине волны ~1·10⁻³ см⁻¹. Для его накачки использовалась высокоэффективная четырехламповая осветительная система (⁵), обеспечивающая удовлетворительную равномерность освещения образца (⁶). Конструкция осветителя была в общих чертах сходна с конструкцией головки серийного прибора ГОС-1001; некоторая ее доработка позволила обеспечить достаточную надежность работы при форсированных режимах накачки. Каждая из 4 ламп типа ИФП-20000 питалась хорошо сформированным импульсом длительностью ~5 мсек и энергией ~40 кдж.

Выходная энергия генератора при плоском резонаторе составляла около 5000 дж, угловая расходимость излучения (по уровню 0,5 интенсивности) ϕ более 5'. Переход к телескопическому резонатору привел к уменьшению ϕ до 30''-40''; половина энергии излучения, равной в этом случае 4500 дж, оказалась сосредоточенной в угле раствором меньше 2'. Параметры использованного телескопического резонатора: коэффициент увеличения M=2, расстояние между зеркалами \sim 1 м. В соответствии с рекомендациями (3, 9) были приняты меры для устранения возможных источников так называемой сходящейся волны; юстировка резонатора осуществлялась по методике (10).

Аналогичные эксперименты были произведены также с генератором, который состоял из двух головок, установленных последовательно в общем телескопическом резонаторе с M=5 и базой порядка 2 м. При выходной энергии около 8000 дж * угловая расходимость излучения оказалась даже несколько меньшей, чем в случае одной головки. Этот результат может быть объяснен в рамках развитых в (2) представлений: хотя установка двух головок приводит к удвоению волновых аберраций на одном проходе резонатора, зато и «чувствительность» системы к аберрациям низко-

^{*} В этих условиях стержни из неодимового стекла выдерживали лишь небольшое число вспышек.

го порядка при переходе от M=2 к M=5 заметно уменьшается. Кроме того, за счет уменьшения диаметра выпуклого зеркала (с 22 до 9 мм) увеличивается сечение выходящего из резонатора пучка, причем добавляется близко расположенная к оси зона со сравнительно небольшими термическими деформациями резонатора.

Приведенные данные доказывают возможность использования телескопического резонатора для уменьшения угловой расходимости излучения
генераторов, обладающих высокой эффективностью и большой выходной
энергией. Однако нельзя забывать, что для реализации малой угловой
расходимости необходимо принимать все возможные меры для уменьшения деформаций резонатора. В случае лазеров на неодинаковом стекле
главным источником этих деформаций являются термические эффекты,
поэтому для достижения удовлетворительных результатов нам пришлось
не только использовать осветитель со сравнительно высокой равномерностью освещения стержня, но и тщательно контролировать тепловой режим образца. В то же время попытки применить телескопический резонатор для повышения степени направленности излучения, например, генератора ГОС-1000, термические эффекты в котором весьма велики (6), едва
ли могут увенчаться успехом.

Необходимо также иметь в виду, что, помимо высокой равномерности возбуждения активной среды, решение проблемы расходимости требует также применения высококачественных зеркал, особо тщательной юсти-

ровки и т. д.

Рассмотрим кратко пути дальнейшего улучшения характеристик твердотельных лазеров со свободной генерацией. Если исключить вопросы, связанные с возможностью создания новых источников накачки, то узловой проблемой пока остается проблема ликвидации (или уменьшения) термических деформаций резонатора. Наибольший интерес представляют, пожалуй, два способа ее решения.

Один из них заключается в том, что пучок генерируемого излучения пропускается через активный элемент наклонно к его боковым поверхностям и несколько раз претерпевает на них полное внутреннее отражение. При этом каждый луч параллельного пучка проходит сквозь все слои образца с различной температурой и показателем преломления, что приводит к выравниванию оптических путей, т. е. к отсутствию термических деформаций. Генерация подобных пучков излучения в активных элементах прямоугольного и восьмигранного сечения впервые наблюдалась М. П. Ваноковым и др. (11). Различные схемы генераторов и усилителей с полным внутренним отражением на боковых стенках оживленно обсуждались в 1965—1968 гг. (12-14); указывалось, что с их помощью может быть решена проблема термических деформаций (14). Наконец, в самое последнее время внимание к этому направлению вновь привлечено работой (15), в которой возможность ликвидации термических деформаций продемонстрирована экспериментально.

К сожалению, реализация генераторов с полным внутренним отражением сталкивается с рядом трудностей, причем не только чисто технологических (необходимость точной обработки боковых поверхностей), но и принципиальных. Так, в случае применения простейших схем, обсуждаемых в (15), четверть объема активного элемента вообще не используется, а в четверти объема плотность излучения удваивается (см. рис. 1) по сравнению с плотностью в обычных генераторах, что снижает порог разрушения образца. Необходимо также иметь в виду, что влияние термических деформаций в схемах такого рода ликвидируется полностью лишь для строго параллельных пучков. Но для получения узконаправленного излучения при большой апертуре генератора плоские резонаторы практически непригодны (16), а в неустойчивых резонаторах по крайней мере один из двух пучков, распространяющихся в противоположных направлениях, является расходящимся. Наличие расходящегося пучка приводит к тому,

что распределенные по длине образца источники аберраций должны играть определенную роль и в генераторах с полным внутренним отражением.

Приведем результаты соответствующего анализа, выполненного для изображенного на рис. 1 телескопического резонатора с четным числом отражений от боковых поверхностей (нечетное число отражений N невыгодно, так как при этом резко возрастает влияние аберраций нечетного порядка; на рис. 1 N=2). Расчеты показывают, что в отличие от обычных

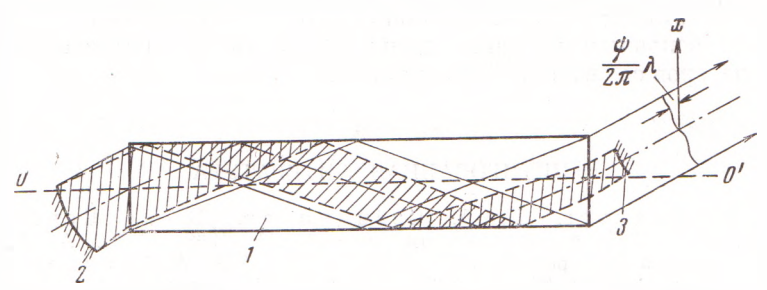


Рис. 1. Схема лазера с телескопическим резонатором и двукратным отражением от боковых стенок активного элемента: 1 — активный элемент, 2, 3 — соответственно вогнутое и выпуклое зеркала телескопического резонатора, 4 — волновой фронт генерируемого пучка

схем здесь искривление волнового фронта генерируемого излучения, вызванное распределенными источниками аберраций, в первом приближении не зависит от коэффициента увеличения резонатора M. Если показатель преломления n представить в виде ряда

$$n=n_0+n_1 x/a+n_2(x/a)^2+\ldots$$

где x — расстояние до плоскости OO', 2a — толщина образца (см. рисунок), то распределение фазы $\psi(x)$ генерируемого пучка будет описываться соотношением

$$\psi(x) = rac{2\pi}{\lambda} rac{n_0 x}{\left[\left(L/2aN
ight)^2 + 1
ight]^{1/2}} - rac{2\pi}{\lambda} \left[L^2 + (2aN)^2
ight]^{1/2} \left\{rac{n_1}{4N} \left(rac{x}{a}
ight)^2 + rac{n_2}{6N} \left[\left(rac{x}{a}
ight)^3 - rac{x}{a}
ight] + \ldots + rac{n_k}{2\left(k+1
ight)N} \left[\left(rac{x}{a}
ight)^{k+1} - rac{1 + (-1)^k}{2} rac{x}{a}
ight] + \ldots
ight\}$$

L— длина образца. В правой части этого соотношения первый член, пропорциональный n_0 , соответствует просто наклону пучка по отношению к плоскости OO'. Член с n_1 описывает влияние аберраций первого порядка (оптический клин), которые могут возникнуть при неравной освещенности боковых поверхностей образца, а также при его механическом изгибе. Видно, что оптический клин толщиной $2\,n_1L$ приводит к тому, что фронт выходящей из резонатора волны становится сферическим со стрелкой прогиба $\sim n_1L/(4N)$ (в этих оценках $[L^2+(2aN)^2]^{n_1}$ можно заменить на L). Наличие термической «линзы» оптической толщиной n_2L вызывает антисимметричное искажение волнового фронта с максимальной разностью хода $\sim 0.13\,n_2L/N$ и т. д. Поскольку использование схем с N>4 едва ли разумно, можно сделать общий вывод, что влияние термических эффектов и изгиба стержня оказывается ослабленным по сравнению с обычным случаем в 10-30 раз.

Второй способ уменьшения термических деформаций резонатора касается только лазеров на стекле и заключается в соответствующем подборе состава матрицы. В соответствии с (6), этот способ особенно перспективен при использовании активных элементов прямоугольного сечения: в этом случае градиент показателя преломления для излучения одной из поляризаций полностью отсутствует при выполнении условия |P| = Q, где P и Q —

введенные в (6) термооптические постоянные. Из результатов (6, $^{17-19}$) следует, что разработка такого состава стекла является вполне реальной задачей. В то же время для обычных стержней круглого сечения, которые использовались и в настоящей работе, деформации резонатора исчезают лишь при P=O=0, чего добиться почти невозможно.

Оба рассмотренных приема борьбы с термическими деформациями требуют перехода к стержням прямоугольного сечения *. По-видимому, этот переход в сочетании с соответствующими технологическими проработками и является основным условием дальнейшего совершенствования твердо-

тельных лазеров со свободной генерацией.

Поступило 3 IV 1973

ПИТИРОВАННАЯ ЛИТЕРАТУРА

1 Ю. А. Ананьев, Н. А. Свенцицкая, В. Е. Шерстобитов, Авт. свид. № 274254 с приоритетом от 18 III 1968. 2 Ю. А. Ананьев, В сборн. Квантовая электроника, № 6, 1971, стр. 3. 3 Ю. А. Ананьев, Г. Н. Винокуров и др., ЖЭТФ, 58, 786 (1970). 4 М. П. Ванюков, А. В. Горланов и др., В сборн. Квантовая электроника, № 4, 1971, стр. 117. 5 Ю. А. Ананьев, И. М. Бужинский и др., Оптико-механич. пром., № 9, 26 (1968). 6 Ю. А. Ананьев, И. М. Гришманова, Журн. прикл. спектроскоп., 12, 668 (1970). 7 Ю. А. Ананьев, Н. И. Гришманова и др., Там же, 13, 227 (1970). 8 Ю. А. Ананьев, В. Е. Шерстобитов, О. А. Шорохов, В сборн. Квантовая электроника, № 1, 1971, стр. 91. 9 Ю. А. Ананьев, В. Е. Шерстобитов, В сборн. Квантовая электроника, № 3, 1971, стр. 82. 10 Л. В. Ковальчук, Н. А. Свенцицкая, В сборн. Квантовая электроника, № 5 (11), 1972, стр. 80. 11 М. П. Ванюков, В. И. Исаенко, В. А. Серебряков, ЖЭТФ, 44, 1493 (1963); 46, 1182 (1964); 47, 2019 (1964). 12 А. І. de Магіа, Ргос. ІЕЕЕ, 53, 1757 (1965). 13 Н. Г. Бондаренко, И. В. Еремина, Б. И. Таланов, Письма ЖЭТФ, 6, 459 (1967). 14 Б. Б. Бойко, Н. С. Петров и др., Журн. прикл. спектроскоп., 8, 351 (1968). 15 А. М. Микарлян, В. В. Дьяченко, В сборн. Квантовая электроника, № 5 (11), 1972, стр. 97. 16 Ю. А. Ананьев, УФН, 103, 705 (1971). 17 И. М. Бужинский, Е. М. Дианов и др., ДАН, 190, 558 (1970). 18 Е. М. Дианов, А. М. Прохоров, ДАН, 192, 531 (1970). 19 А. А. Мак, В. М. Митькин и др., Оптико-механич. пром., № 9, 42 (1971). 20 А. М. Бонч-Бруевич, Я. А. Имас и др., ЖТФ, 36, 1269 (1966).

^{*} Элементы прямоугольного сечения из неодимового стекла впервые применялись (правда, по соображениям несколько иного плана) в работах А. М. Бонч-Бруевича и др. (20 , 21).